

Anellierte Pyridin-Verbindungen aus Hydrocodon und Oxycodon, 2. Mitt.<sup>1)</sup>:Diepoxy-bis-(iminoethano)-dinaphth[2,1-*b*:1',2'-*i*]acridine<sup>2,3 +)</sup>Klaus Görlitzer<sup>a)\*</sup> und Michael Noack<sup>b)</sup>Institut für Pharmazeutische Chemie der Technischen Universität Braunschweig<sup>a)</sup>, Beethovenstraße 55, 3300 Braunschweig und Institut für Pharmazie der Freien Universität Berlin<sup>b)</sup>, Königin-Luise-Straße 2+4, 1000 Berlin 33

Eingegangen am 22. August 1991

Durch *Michael*-Addition von Hydrocodon (**1a**) oder Oxycodon (**1b**) an deren 7-Benzylidenverbindungen **2** werden die Enolhalbketale **3** gebildet. Durch Erhitzen von **3** mit Ammoniumacetat in Eisessig entstehen die 1,4-Dihydropyridine **4**. **4d** ist durch Eintopfreaktion von **1b** und **2d** mit Ammoniumacetat zugänglich. Die Substanzen **4** reagieren mit Oxidationsmitteln schlagartig zu den Pyridinen **5**.

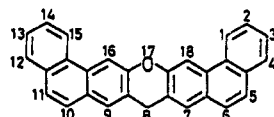
Bei der Umsetzung äquimolarer Mengen Oxycodon (**1b**) und 4-Nitrobenzaldehyd in Ethanol unter Zusatz von KOH ließ sich die 7-Benzylidenverbindung **2f** nur nach Einengen des Reaktionsansatzes in geringen Mengen isolieren. Aus der Mutterlauge konnte als Nebenprodukt eine Substanz gefaßt werden, deren Ausbeute sich auf 66% d.Th. steigern ließ, wenn **1b** in alkalischer ethanolischer Lösung vorgelegt und langsam mit 4-Nitrobenzaldehyd versetzt wurde. Der Molekülpeak im Massenspektrum belegt, daß zwei Moleküle **1b** und ein Molekül 4-Nitrobenzaldehyd unter Verlust von einem Molekül Wasser reagiert haben. Der Hauptfragmentierungsschritt läßt sich als Retro-*Michael*-Addition zu **1b** und **2f** deuten. Bei der Substanz handelt es sich jedoch nicht um das erwartete 1,5-Diketon, da weder im IR-Spektrum eine Carbonylbande für ein Cyclohexanon noch im <sup>13</sup>C-NMR-Spektrum Signale für ein Keton registriert werden. Andererseits zeigt das <sup>1</sup>H-NMR-Spektrum zwei nicht identische Protonensätze der Morphinan-Teilstrukturen. Die spektrometrischen Daten lassen sich nur durch das Vorliegen eines cyclischen Enol-Halbkitals mit der Dihydropyran-Struktur **3f** erklären.

Im <sup>1</sup>H-NMR-Spektrum tritt das Proton am neuen Chiralitätszentrum C-8 bei  $\delta = 3.22$  in Form eines Doublets auf. Aus der großen Kopplungskonstanten von  $J = 10.8$  Hz ergibt sich die trans-Stellung zum benachbarten axialen Proton 8a-H. C-8a ist in Analogie zu dem aus **1b** und 4-Nitrobenzaldehyd in Gegenwart von Ammoniak gebildeten Carbinol<sup>1)</sup> (*R*- und C-8 demzufolge (*S*)-konfiguriert<sup>++</sup>). Unerwarteterweise treten die 2',6'-Protonen im Gegensatz zu den 3',5'-H des Nitroaromaten nicht als Dublett, sondern als flacher, breiter Berg auf. Diese Tatsache spricht für eine Behinderung der Rotation des 4-Nitrophenyl-Substituenten. <sup>1</sup>H-NMR-Messungen zwischen -47°C und +50°C zeigen, daß die 2',6'-Protonen bei  $T_c = 293$  K koaleszieren. Mit  $\Delta\nu = 100$  Hz läßt sich mit Hilfe der *Eyring*-Gleichung<sup>5)</sup> eine Rotationsbarriere von  $\Delta G_c \neq = 58.5$  kJ/mol abschätzen; für die 3',5'-Protonen wurde die Koaleszenztemperatur  $T_c = 275$  K und  $\Delta\nu = 20$  Hz ermittelt. Daraus resultiert eine annähernd gleich große Energiebarriere in Höhe von 58.4 kJ/mol.

Anellated Pyridine Compounds from Hydrocodone and Oxycodon, II:  
Diepoxy-bis-(iminoethano)-dinaphth[2,1-*b*:1',2'-*i*]acridines

*Michael* addition of hydrocodone (**1a**) or oxycodone (**1b**) with their 7-benzylidene compounds **2** yields the enol half ketals **3**. The 1,4-dihydropyridines **4** are obtained by heating **3** with ammonium acetate in acetic acid. **4d** is prepared from **1b** and **2b** with ammonium acetate in a one pot reaction. The substances **4** react immediately with oxidizing agents to form the pyridines **5**.

Die systematische Bezeichnung des neuen Ringsystems ergibt ein Dinaphtho[2,1-*b*:1',2'-*i*]xanthen oder nach der Hantzsch-Widman-Nomenklatur als Grundkörper ein 17-Oxa-dibenzo[*a,n*]pentacen:

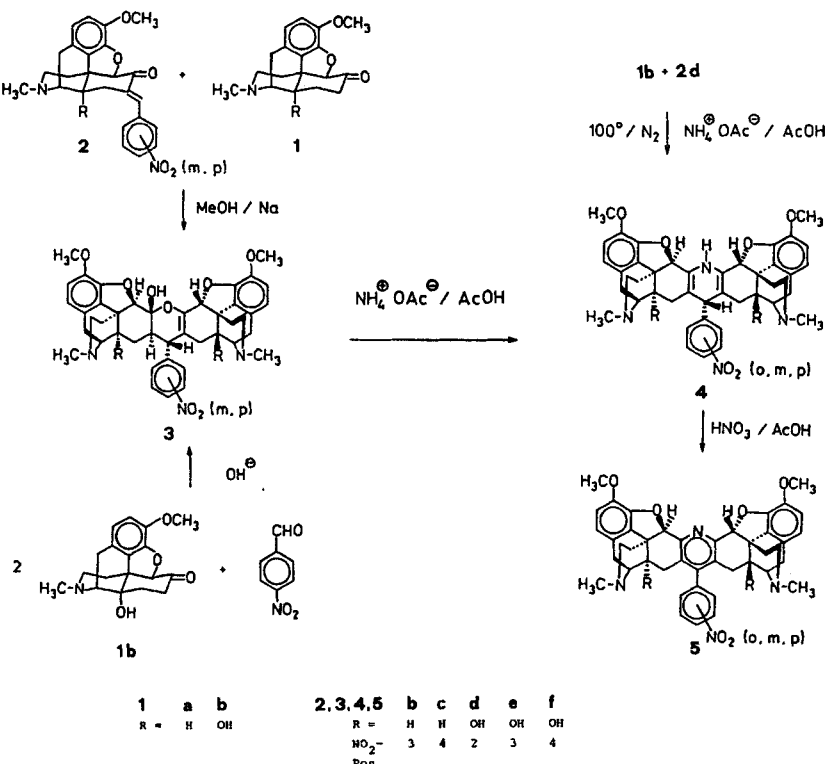


Weitere Substanzen vom Typ **3** mit 3- bzw. 4-Nitrophenyl-Gruppen an C-8 oder Derivate des Hydrocodons (**1a**) ließen sich nur dann synthetisieren, wenn die Benzyliden-Verbindungen **2** in einer cyclisierenden *Michael*-Addition mit **1a** bzw. **1b** und Natriummethanolat als Katalysator umgesetzt wurden. Aus 7-(2-Nitrobenzyliden)-oxycodon (**2d**) entstand unter diesen Bedingungen ein komplexes Gemisch intensiv gefärbter Produkte.

In den <sup>1</sup>H-NMR-Spektren der Enolhalbketale **3b** und **3c** sind überhaupt keine Signale für die Protonen an C-2 und C-6 des Nitroaromaten sichtbar. Infolge der Rotationsbehinderung des Substituenten sind die Signale bei der Meßtemperatur von 20°C so breit und flach, daß sie mit dem Untergrund verschmelzen.

Aus den Enolhalbketalen **3** ließen sich durch kurzes Erhitzen mit Ammoniumacetat in Eisessig, vermutlich nach Ringöffnung zu den 1,5-Diketonen und Recyclisierung, die Dinaphtho[2,1-*b*:1',2'-*i*]acridine **4** herstellen. Das 17-Aza-dibenzo[*a,n*]pentacen **4d** mit einer 2-Nitrophenyl-Gruppe konnte in einer "Eintopfreaktion" durch Erhitzen von Oxycodon (**1b**) mit der Benzyliden-Verbindung **2d** und Ammoniumacetat in Eisessig unter N<sub>2</sub> dargestellt werden. Die anellierten 1,4-Dihydropyridine **4** sind sehr oxidationsempfindlich. Die <sup>1</sup>H-NMR-Spektren von **4** zeigen deutlich zwei

<sup>+</sup>) Herr Prof. Dr. W. Wiegrefe mit den besten Wünschen zum 60. Geburtstag gewidmet.<sup>++)</sup> Für Verbindungen vom Typ **3** ohne 8-Nitrophenyl-Substituenten wurde die Stereochemie durch 2D-NMR-Techniken bewiesen<sup>4)</sup>.

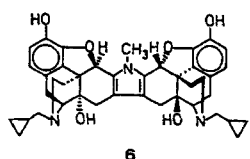


Schema 1

Sätze von Protonenresonanzen für die oberhalb bzw. unterhalb des 1,4-Dihydropyridin-Ringes liegenden Morphinenteilstrukturen, da der Nitroaromat nur einer Molekülhälfte räumlich nahe kommt. In den Massenspektren von 4 finden sich neben dem Molekülion wesentlich intensivere Ionen für das dehydrierte und das zweifach positiv geladene Molekül; der Basispeak entsteht, wie für die 1,4-Dihydropyridine typisch, durch den Verlust des Nitrophenyl-Substituenten.

Versetzt man die essigsäure Lösung der 1,4-Dihydropyridine 4 mit konz. HNO<sub>3</sub>, so erfolgt schlagartig Dehydrierung zu den Pyridinen 5, erkennbar am spontanen Verschwinden der Gelbfärbung. In den NMR-Spektren von 5c und f sind die Protonen bzw. Kohlenstoffatome beider Morphinanteilstrukturen chemisch äquivalent, bei 5b,d,e werden dagegen zwei geringfügig verschiedene Sätze gefunden.

Mit den Phenolethern 5 liegen Modellsubstanzen für die korrespondierenden Phenole vor, die Rezeptorbindungsstudien unterworfen werden sollen. Für das strukturell ähnliche Binaltorphimin (6) - ein Pyrrol verbrückt zwei N-Cyclopropylmethyl-oxymorphon-Moleküle - konnte Portoghesi<sup>6)</sup> die selektive Bindung an den κ-Opioid-Rezeptor nachweisen.



Formel 6

Herrn Dr. Ph. Fresenius<sup>†</sup>, Karlsruhe, danken wir für seine wertvolle Hilfe bei der systematischen Benennung der anellierten Morphinane. Der

Knoll AG, Ludwigshafen und E. Merck, Darmstadt, danken wir für die großzügige Bereitstellung von Dicodid<sup>R</sup>- und Eukodal<sup>R</sup>-Substanz.

## Experimenteller Teil

Allgemeine Angaben, auch zu Konzentrationen und Lösungsmitteln der Drehwerte:<sup>1)</sup>.

### Allgemeine Arbeitsvorschrift zur Darstellung der Dinaphtho[2,1-b:1',2'-i]xanthene 3 (AAV 1)

Zu einer frisch hergestellten Lösung von 100 mg Na in 5 ml trockenem MeOH werden 0.5 mmol Benzylidenmorphinanon 2 gegeben und mit einer siedenden Lösung von 0.6 mmol Morphinanon 1 in 10 ml trockenem MeOH versetzt. Danach wird die angegebene Zeit bei Raumtemp. gerührt, mit H<sub>2</sub>O bis zur vollständigen Fällung des gebildeten Niederschlags versetzt, abgesaugt und mit H<sub>2</sub>O gewaschen.

### Allgemeine Arbeitsvorschrift zur Darstellung der Decahydro-dinaphtho[2,1-b:1',2'-i]acridine 4 (AAV 2)

100 mg Dinaphthoxanthen 3 und 2 g Ammoniumacetat werden 5 min unter Rückfluß in 5 ml AcOH zum Sieden erhitzt. Nach dem Erkalten und Verdünnen mit H<sub>2</sub>O wird mit wäßriger KOH alkalisch gemacht. Der gebildete Niederschlag wird abgesaugt, mit H<sub>2</sub>O gewaschen und vorsichtig unter schwachem Erwärmen umkristallisiert.

### Allgemeine Arbeitsvorschrift zur Darstellung der Octahydro-dinaphtho[2,1-b:1',2'-i]acridine 5 (AAV 3)

100 mg 4 werden in 10 ml AcOH gelöst, mit 2 Tropfen konz. HNO<sub>3</sub> versetzt und 5 min bei Raumtemp. gerührt. Nach Verdünnen mit 10 ml H<sub>2</sub>O wird mit wäßriger KOH bis zur alkalischen Reaktion versetzt und mit CH<sub>2</sub>Cl<sub>2</sub> ausgeschüttelt. Die über Na<sub>2</sub>SO<sub>4</sub> getrocknete org. Phase wird i. Vak. eingedampft und der Rückstand a) umkristallisiert oder b) sc (Fließmittel: Aceton) vorgereinigt.

## Pyridine aus Hydrocodon und Oxycodon

(*6R,6aR,8S,8aR,9aR,10R,15bS,16R,16aR,18R,18aS*)-(-)-1,18; 15,16-Diepoxy-5,6,6a,7,8a,9,9a,10,11,16a-decahydro-6,18a; 10,15b-bis-(iminoethano)-2,14-dimethoxy-21,24-dimethyl-8-(3-nitrophenyl)-(8H,16H,18H)-dinaphtho[2,1-b:1',2'-i]xanthen-16a-ol (**3b**)

Darstellung aus **1a** und **2b** nach AAV 1 (Reaktionszeit: 6 h). Blaßgelbe Kristalle, Schmp. ab 185°C (Zers.) (MeOH/H<sub>2</sub>O). Ausb. 32%. - IR (KBr):  $\tilde{\nu}$  = 3530 (OH); 1655, 1630 (C=C); 1520, 1340 cm<sup>-1</sup> (NO<sub>2</sub>). - UV (0.1 N HCl):  $\lambda$  max (lg  $\epsilon$ ) = 274 nm (3.97). - <sup>1</sup>H-NMR (CDCl<sub>3</sub>):  $\delta$  = 0.88-3.09 (m, 21 H), 2.29 und 2.32 (2s, 6H, 2 NCH<sub>3</sub>), 3.07 (d, 1H, 8-H, J = 11.0 Hz), 3.48 (d, 1H, OH, J = 1.4 Hz, +D<sub>2</sub>O:-), 3.90 und 3.97 (2s, 6H, 2 OCH<sub>3</sub>), 4.91 (s, 2H, 16-H, 18-H), 6.52 und 6.67 (2d, 2H, 4-H, 12-H, J = 8.2 Hz), 6.74 und 6.78 (2d, 2H, 3-H, 13-H, J = 8.2 Hz), 8.00 (dt, 1H, 4'-H, J = 8.1, J = 1.0 Hz). - [α]<sub>D</sub><sup>20</sup> = -153°. - DC (MeOH): Rf = 0.12. - C<sub>43</sub>H<sub>45</sub>N<sub>3</sub>O<sub>8</sub> (731.9) Ber. C 69.7 H 6.12 N 5.7 Gef. C 69.5 H 6.11 N 5.6. - Molmasse: 731 (ms).

(*6R,6aR,8S,8aR,9aR,10R,15bS,16R,16aR,18R,18aS*)-(-)-1,18; 15,16-Diepoxy-5,6,6a,7,8a,9,9a,10,11,16a-decahydro-6,18a; 10,15b-bis-(iminoethano)-2,14-dimethoxy-21,24-dimethyl-8-(4-nitrophenyl)-(8H,16H,18H)-dinaphtho[2,1-b:1',2'-i]xanthen-16a-ol (**3c**)

Darstellung aus **1a** und **2c** nach AAV 1 (Reaktionszeit: 5 h). Blaßgelbe Kristalle, Schmp. ab 180°C (Zers.) (Et<sub>2</sub>O). Ausb. 39%. - IR (KBr):  $\tilde{\nu}$  = 3460 (OH); 1670, 1625 (C=C); 1510, 1335 cm<sup>-1</sup> (NO<sub>2</sub>). - UV (0.1 N HCl):  $\lambda$  max (lg  $\epsilon$ ) = 280 nm (4.04). - <sup>1</sup>H-NMR (CDCl<sub>3</sub>):  $\delta$  = 0.87-3.09 (m, 21 H), 2.26 und 2.29 (2s, 3H, 2 NCH<sub>3</sub>), 3.42 (d, 1H, OH, J = 1.7 Hz, +D<sub>2</sub>O:-), 3.86 und 3.92 (2s, 6H, 2 OCH<sub>3</sub>), 4.85 (s, 2H, 16-H, 18-H), 6.54 und 6.63 (2d, 2H, 4-H, 12-H, J = 8.2 Hz), 6.71 und 6.75 (2d, 2H, 3-H, 13-H, J = 8.2 Hz), 7.93 (d, 2H, 3'-H, 5'-H, J = 8.1 Hz). - [α]<sub>D</sub><sup>20</sup> = -62°. - DC (MeOH): Rf = 0.14. - C<sub>43</sub>H<sub>45</sub>N<sub>3</sub>O<sub>8</sub> 1/2 H<sub>2</sub>O (740.9) Ber. C 69.7 H 6.12 N 5.7 Gef. C 69.8 H 6.13 N 5.9. - Molmasse: 731 (ms).

(*6R,6aS,8S,8aR,9aS,10R,15bS,16R,16aR,18R,18aS*)-(-)-1,18; 15,16-Diepoxy-5,6,6a,7,8a,9,9a,10,11,16a-decahydro-6,18a; 10,15b-bis-(iminoethano)-2,14-dimethoxy-21,24-dimethyl-8-(3-nitrophenyl)-(8H,16H,18H)-dinaphtho[2,1-b:1',2'-i]xanthen-6a,9a,16a-triol (**3e**)

Darstellung aus **1b** und **2e** nach AAV 1 (Reaktionszeit: 2 h). Farblose Kristalle, Schmp. ab 195°C (Zers.) (MeOH/H<sub>2</sub>O). Ausb. 54%. - IR (KBr):  $\tilde{\nu}$  = 3540, 3390 (OH); 1675, 1630 (C=C); 1520, 1345 cm<sup>-1</sup> (NO<sub>2</sub>). - UV (0.1 N HCl):  $\lambda$  max (lg  $\epsilon$ ) = 274 nm (3.97). - <sup>1</sup>H-NMR (CDCl<sub>3</sub>):  $\delta$  = 1.02 (dd, 1H, 9-H<sub>a</sub>, J = 12.6, J = 2.3 Hz), 1.29 (d, 1H, 9-H<sub>e</sub>, J = 12.6 Hz), 1.36-1.47 (m, 3H), 1.67 (d, 1H, 19-H<sub>e</sub>, J = 9.3 Hz), 2.08-2.63 (m, 11 H), 2.26 und 2.28 (2s, 6H, 2 NCH<sub>3</sub>), 2.98-3.11 (m, 2H, 5-H<sub>e</sub>, 11-H<sub>e</sub>), 3.18 (d, 1H, 8-H, J = 11.4 Hz), 3.60 (s, br., 1H, OH, +D<sub>2</sub>O:-), 3.88 und 3.97 (2s, 6H, 2 OCH<sub>3</sub>), 4.90 und 4.93 (2s, 2H, 16-H, 18-H), 6.52 und 6.65 (2d, 2H, 4-H, 14-H, J = 8.2 Hz), 6.73 (d, 2H, 3-H, 13-H, J = 8.2 Hz), 7.05 (s, br., 2H, 5'-H, 6'-H), 7.65 (s, br., 1H, 2'-H), 7.98 (dd, 1H, 4'-H, J = 8.0, J = 1.1 Hz). - [α]<sub>D</sub><sup>20</sup> = -142°. - DC (MeOH): Rf = 0.12. - C<sub>43</sub>H<sub>45</sub>N<sub>3</sub>O<sub>10</sub> 1/2 H<sub>2</sub>O (772.9) Ber. C 66.8 H 6.00 N 5.4 Gef. C 66.7 H 5.91 N 5.5. - Molmasse: 763 (ms).

(*6R,6aS,8S,8aR,9aS,10R,15bS,16R,16aR,18R,18aS*)-(-)-1,18; 15,16-Diepoxy-5,6,6a,7,8a,9,9a,10,11,16a-decahydro-6,18a; 10,15b-bis-(iminoethano)-2,14-dimethoxy-21,24-dimethyl-8-(4-nitrophenyl)-(8H,16H,18H)-dinaphtho[2,1-b:1',2'-i]xanthen-6a,9a,16a-triol (**3f**)

- 2 mmol **1b** werden unter schwachem Erwärmen in 20 ml EtOH gelöst und mit einer Lösung von 100 mg KOH in 1 ml H<sub>2</sub>O versetzt. Unter Rühren wird langsam eine Lösung von 2 mmol 4-Nitrobenzaldehyd in 10 ml EtOH zugetropft und noch 1.5 h bei Raumtemp. weitergeführt. Danach wird mit 50 ml H<sub>2</sub>O versetzt, abgesaugt und mit H<sub>2</sub>O gewaschen.
- Aus **1b** und **2f** nach AAV 1 (Reaktionszeit: 2 h). Farblose Plättchen, Schmp. ab 220°C (CHCl<sub>3</sub>/EtOH).

Ausb. a. 66%; b. 83%. - IR (KBr):  $\tilde{\nu}$  = 3420 (OH); 1680, 1635 (C=C); 1510, 1340 cm<sup>-1</sup> (NO<sub>2</sub>). - IR (CHCl<sub>3</sub>):  $\tilde{\nu}$  = 3546, 3384 (OH); 1682, 1638

(C=C); 1518, 1347 cm<sup>-1</sup> (NO<sub>2</sub>). - UV (0.1 N HCl):  $\lambda$  max (lg  $\epsilon$ ) = 276 nm (3.80). - <sup>1</sup>H-NMR (CDCl<sub>3</sub>):  $\delta$  = 0.97 (dd, 1H, 9-H<sub>a</sub>, J = 12.6, J = 2.5 Hz), 1.23-1.51 (m, 4H), 1.66 (d, 1H, 19-H<sub>e</sub>, J = 10.1 Hz), 2.08-2.63 (m, 11 H), 2.26 und 2.29 (2s, 6H, 2 NCH<sub>3</sub>), 3.00 und 3.09 (2d, 2H, 5-H<sub>e</sub>, 11-H<sub>e</sub>, J = 18.4 und J = 17.8 Hz), 3.22 (d, 1H, 8-H, J = 10.8 Hz), 3.56 (d, 1H, OH, J = 1.9 Hz, +D<sub>2</sub>O:-), 3.88 und 3.98 (2s, 6H, 2 OCH<sub>3</sub>), 4.89 und 4.92 (2s, 2H, 16-H, 18-H), 6.56 und 6.65 (2d, 2H, 4-H, 12-H, J = 8.2 Hz), 6.73 und 6.77 (2d, 2H, 3-H, 13-H, J = 8.3 Hz), 6.90 (mc, br., 2H, 2'-H, 6'-H), 7.98 (d, 2H, 3'-H, 5'-H, J = 8.5 Hz). - <sup>13</sup>C-NMR (CDCl<sub>3</sub>):  $\delta$  = 18.40 (d, C-8a), 21.80 und 22.07 (2t, C-19/C-22), 31.11 und 31.64 (2t, C-5/C-11), 34.94 (t, C-9), 40.41 (d, C-8), 42.44 und 42.97 (2q, 2 NCH<sub>3</sub>), 44.95 (t, C-7), 45.37 und 45.90 (2t, C-20/C-23), 47.61 (s, C-15b), 56.39 und 56.60 (2q, 2 OCH<sub>3</sub>), 58.35 (s, C-18a), 63.80 und 64.54 (2d, C-6/C-10), 69.96 und 70.80 (2s, C-6a/C-9a), 88.96 und 91.99 (2d, C-16/C-18), 96.74 (s, C-16a), 109.65 (s, C-7a), 113.65 und 113.76 (2d, C-4/C-12), 118.45 und 119.13 (2d, C-3/C-13), 123.74 und 123.85 (2d, C-3'/C-5'), 124.93 und 125.54 (2s, C-4a/C-11a), 129.71 (br., C-2'/C-6'), 130.79 und 131.33 (2s, C-15a/C-18b), 141.51 (s, C-1'), 142.06 und 143.50 (2s, C-1/C-15), 144.73 und 145.30 (2s, C-2/C-14), 146.84 (s, C-4'), 149.99 (s, C-17a). - [α]<sub>D</sub><sup>20</sup> = -44°. - DC (MeOH): Rf = 0.29. - C<sub>43</sub>H<sub>45</sub>N<sub>3</sub>O<sub>10</sub> 1/2 H<sub>2</sub>O/EtOH (818.9) Ber. C 66.0 H 5.13 N 6.4 Gef. C 65.8 H 5.15 N 6.3. - Molmasse: 763 (ms).

(*6R,6aR,9aR,10R,15bS,16R,18R,18aS*)-(-)-1,18; 15,16-Diepoxy-5,6,6a,7,8,9,9a,10,11,17-decahydro-2,14-dimethoxy-21,24-dimethyl-8-(3-nitrophenyl)-6,18a; 10,15b-bis(iminoethano)-(16H,18H)-dinaphth[2,1-b:1',2'-i]xanthen-16a-ol (**4b**)

Darstellung aus **3b** nach AAV 2. Gelbe Nadeln, Schmp. ab 245°C (Zers.) (CH<sub>2</sub>Cl<sub>2</sub>/MeOH). Ausb. 48%. - IR (KBr):  $\tilde{\nu}$  = 3400 (NH); 1690, 1660, 1630 (C=C); 1525, 1340 cm<sup>-1</sup> (NO<sub>2</sub>). - UV (0.1 N HCl):  $\lambda$  max (lg  $\epsilon$ ) = 276 nm (4.12). - <sup>1</sup>H-NMR (CDCl<sub>3</sub>):  $\delta$  = 0.88-1.00 (m, 2H, 7-H<sub>a</sub>, 9-H<sub>a</sub>), 1.29-1.42 (m, 6H), 1.76-2.54 (m, 8H), 2.31 und 2.35 (2s, 6H, 2 NCH<sub>3</sub>), 2.84 und 2.98 (2d, 2H, 5-H<sub>e</sub>, 11-H<sub>e</sub>, J = 18.7 und J = 18.4 Hz), 2.91-3.00 (m, 2H), 3.50 (s, 1H, 8-H), 3.90 und 3.95 (2s, 6H, 2 OCH<sub>3</sub>), 4.94 und 4.96 (2s, 2H, 16-H, 18-H), 5.26 (s, 1H, NH, +CF<sub>3</sub>COOD:-), 6.42 und 6.64 (2d, 2H, 4-H, 12-H, J = 8.2 und J = 8.3 Hz), 6.64 und 6.74 (2d, 2H, 3-H, 13-H, J = 8.3 und J = 8.2 Hz), 7.16-7.18 (m, 2H, 5'-H, 6'-H), 7.69 (s, 1H, 2'-H), 7.89-7.93 (m, 1H, 4'-H). - [α]<sub>D</sub><sup>20</sup> = -110°. - DC (MeOH): Rf = 0.09. - C<sub>43</sub>H<sub>44</sub>N<sub>4</sub>O<sub>6</sub> 1.5 H<sub>2</sub>O (739.9) Ber. C 69.8 H 6.40 N 7.6 Gef. C 70.0 H 5.91 N 7.6. - Molmasse: 712 (ms).

(*6R,6aR,9aR,10R,15bS,16R,18R,18aS*)-(-)-1,18; 15,16-Diepoxy-5,6,6a,7,8,9,9a,10,11,17-decahydro-2,14-dimethoxy-21,24-dimethyl-8-(4-nitrophenyl)-6,18a; 10,15b-bis(iminoethano)-(16H,18H)-dinaphth[2,1-b:1',2'-i]xanthen-16a-ol (**4c**)

Darstellung aus **3c** nach AAV 2. Amorphes gelbes Pulver, Schmp. ab 220°C (Zers.) (MeOH/H<sub>2</sub>O). Ausb. 67%. - IR (KBr):  $\tilde{\nu}$  = 3390 (NH); 1680, 1655, 1625 (C=C); 1505, 1340 cm<sup>-1</sup> (NO<sub>2</sub>). - UV (0.1 N HCl):  $\lambda$  max (lg  $\epsilon$ ) = 280 nm (4.16). - <sup>1</sup>H-NMR (CDCl<sub>3</sub>):  $\delta$  = 0.86-0.97 (m, 2H, 7-H<sub>a</sub>, 9-H<sub>a</sub>), 1.22-1.38 (m, 6H), 1.70-2.51 (m, 8H), 2.28 und 2.31 (2s, 6H, 2 NCH<sub>3</sub>), 2.82 und 2.94 (2d, 2H, 5-H<sub>e</sub>, 11-H<sub>e</sub>, J = 18.7 Hz), 2.87-2.95 (m, 2H), 3.45 (s, 1H, 8-H), 3.86 und 3.91 (2s, 6H, 2 OCH<sub>3</sub>), 4.89 und 4.90 (2s, 2H, 16-H, 18-H), 5.21 (s, 1H, NH, +CF<sub>3</sub>COOD:-), 6.42 und 6.60 (2d, 2H, 4-H, 12-H, J = 8.2 und J = 8.1 Hz), 6.64 und 6.70 (2d, 2H, 3-H, 13-H, J = 8.2 Hz), 6.96 (d, 2H, 2'-H, 6'-H, J = 8.6 Hz), 7.84 (d, 2H, 3'-H, 5'-H, J = 8.6 Hz). - [α]<sub>D</sub><sup>20</sup> = -146°. - DC (MeOH): Rf = 0.09. - C<sub>43</sub>H<sub>44</sub>N<sub>4</sub>O<sub>6</sub> 3.5 H<sub>2</sub>O (775.9) Ber. C 66.6 H 6.63 N 7.2 Gef. C 66.8 H 6.80 N 7.2. - Molmasse: 712 (ms).

(*6R,6aS,9aS,10R,15bS,16R,18R,18aS*)-(-)-1,18; 15,16-Diepoxy-5,6,6a,7,8,9,9a,10,11,17-decahydro-2,14-dimethoxy-21,24-dimethyl-8-(2-nitrophenyl)-6,18a; 10,15b-bis(iminoethano)-(16H,18H)-dinaphth[2,1-b:1',2'-i]xanthen-6a,9a-diol (**4d**)

2.5 mmol **1b**, 0.5 mmol **2d** und 4 g Ammoniumacetat werden 30 min bei 90-100°C unter N<sub>2</sub> in 10 ml AcOH gerührt. Nach dem Erkalten wird mit

$\text{H}_2\text{O}$  verdünnt, mit wässriger KOH alkalisch gemacht, der gebildete Niederschlag abgesaugt und mit  $\text{H}_2\text{O}$  gewaschen. Das getrocknete Rohprodukt wird mit wenig MeOH digeriert, ungelöstes **1b** abfiltriert und unter Zusatz von  $\text{H}_2\text{O}$  zur Kristallisation gebracht. Amorphes hellgelbes Pulver, Schmp. ab 240°C (Zers.) (MeOH/ $\text{H}_2\text{O}$ ). Ausb. 27%. - IR (KBr):  $\tilde{\nu} = 3400$  (OH, NH); 1690, 1665, 1625 (C=C); 1520, 1345  $\text{cm}^{-1}$  ( $\text{NO}_2$ ). - UV (0.1 N HCl):  $\lambda_{\text{max}} (\lg \epsilon) = 278$  nm (4.06). -  $^1\text{H-NMR}$  ( $\text{CDCl}_3$ ):  $\delta = 1.27$  (d, 1H, 19-H<sub>e</sub>, J = 8.8 Hz), 1.37 (d, 1H, 7-H<sub>a</sub>, J = 14.5 Hz), 1.51 (d, 1H, 7-H<sub>e</sub>, J = 14.5 Hz), 1.54-1.65 (m, 2H, 9-H<sub>a</sub>, 22-H<sub>e</sub>), 1.81 (d, 1H, 9-H<sub>e</sub>, J = 16.4 Hz), 2.12-2.71 (m, 8H), 2.26 und 2.29 (2s, 6H, 2 NCH<sub>3</sub>), 2.96 und 3.48 (2d, 2H, 5-H<sub>e</sub>, 11-H<sub>e</sub>, J = 18.7 und J = 18.4 Hz), 3.08-3.13 (m, 2H), 3.89 und 3.91 (2s, 6H, 2 OCH<sub>3</sub>), 4.28 (s, 1H, 8-H), 4.89 und 4.91 (2s, 2H, 16-H, 18-H), 5.17 (s, 1H, NH, +CF<sub>3</sub>COOD:-), 6.40 und 6.62 (2d, 2H, 4-H, 12-H, J = 8.2 Hz), 6.62 und 6.72 (2d, 2H, 3-H, 13-H, J = 8.2 Hz), 7.11-7.21 (m, 2H, 4'-H, 5'-H), 7.31 (dd, 1H, 6'-H, J = 7.8, J = 1.6 Hz), 7.47 (dd, 1H, 3'-H, J = 7.8, J = 1.6 Hz). -  $[\alpha]_D^{20} = -291^\circ$ . - DC (MeOH): Rf = 0.07. - C<sub>43</sub>H<sub>44</sub>N<sub>4</sub>O<sub>8</sub>·MeOH (776.9) Ber. C 68.0 H 6.23 N 7.2 Gef. C 68.4 H 6.01 N 7.1. - Molmasse: 744 (ms).

(6R,6aS,9aS,10R,15bS,16R,18R,18aS)-(-)-1,18;15,16-Diepoxy-5,6,6a,7,8,9,9a,10,11,17-decahydro-2,14-dimethoxy-21,24-dimethyl-8-(3-nitrophenyl)-6,18a;10,15b-bis(iminoethano)-(16H,18H)-dinaphth[2,1-b:1',2'-i]acridin-6a,9a-diol (**4e**)

Darstellung aus **3e** nach AAV 2. Amorphes gelbes Pulver, Schmp. ab 250°C (Zers.) (MeOH/ $\text{H}_2\text{O}$ ). Ausb. 73%. - IR (KBr):  $\tilde{\nu} = 3400$  (OH, NH); 1685, 1660, 1625 (C=C); 1520, 1345  $\text{cm}^{-1}$  ( $\text{NO}_2$ ). - UV (0.1 N HCl):  $\lambda_{\text{max}} (\lg \epsilon) = 274$  nm (4.07). -  $^1\text{H-NMR}$  ( $\text{CDCl}_3$ ):  $\delta = 1.26-1.81$  (m, 6H), 2.12-3.20 (m, 8H), 2.26 und 2.31 (2s, 6H, 2 NCH<sub>3</sub>), 2.56 und 2.68 (2d, 2H, 6-H, 10-H, J = 6.5 und J = 6.3 Hz), 2.99 und 3.11 (2d, 2H, 5-H<sub>e</sub>, 11-H<sub>e</sub>, J = 18.7 und J = 17.5 Hz), 3.66 (s, 1H, 8-H), 3.90 und 3.94 (2s, 6H, 2 OCH<sub>3</sub>), 4.91 und 4.95 (2s, 2H, 16-H, 18-H), 5.25 (s, 1H, NH, +CF<sub>3</sub>COOD:-), 6.42 und 6.64 (2d, 2H, 4-H, 12-H, J = 8.2 Hz), 6.66 und 6.72 (2d, 2H, 3-H, 13-H, J = 8.3 und J = 8.2 Hz), 7.19 (t, 1H, 5'-H, J = 7.8 Hz), 7.27-7.30 (m, 1H, 6'-H), 7.74 (t, 1H, 2'-H, J = 1.7 Hz), 7.92 (dd, 1H, 4'-H, J = 7.9, J = 2.0 Hz). -  $[\alpha]_D^{20} = -247^\circ$ . - DC (MeOH): Rf = 0.08. - C<sub>43</sub>H<sub>44</sub>N<sub>4</sub>O<sub>8</sub>·H<sub>2</sub>O (762.9) Ber. C 67.7 H 6.08 N 7.3 Gef. C 67.8 H 5.82 N 7.3. - Molmasse: 744 (ms).

(6R,6aS,9aS,10R,15bS,16R,18R,18aS)-(-)-1,18;15,16-Diepoxy-5,6,6a,7,8,9,9a,10,11,17-decahydro-2,14-dimethoxy-21,24-dimethyl-8-(3-nitrophenyl)-6,18a;10,15b-bis(iminoethano)-(16H,18H)-dinaphth[2,1-b:1',2'-i]acridin-6a,9a-diol (**4f**)

Darstellung aus **3f** nach AAV 2. Gelbe Nadeln, Schmp. ab 235°C (Zers.) (CHCl<sub>3</sub>/EtOH). Ausb. 53%. - IR (KBr):  $\tilde{\nu} = 3620, 3540$  (OH); 3400 (NH); 1690, 1660, 1630 (C=C); 1505, 1335  $\text{cm}^{-1}$  ( $\text{NO}_2$ ). - UV (0.1 N HCl):  $\lambda_{\text{max}} (\lg \epsilon) = 276$  nm (4.28). -  $^1\text{H-NMR}$  ( $\text{CDCl}_3$ ):  $\delta = 1.22-1.50$  (m, 3H), 1.57 (d, 1H, 19-H<sub>e</sub>, J = 10.1 Hz), 1.66 (d, 1H, 22-H<sub>e</sub>, J = 9.8 Hz), 1.78 (d, 1H, 9-H<sub>a</sub>, J = 16.2 Hz), 2.17-2.62 (m, 8H), 2.27 und 2.31 (2s, 6H, 2 NCH<sub>3</sub>), 2.54 und 2.68 (2d, 2H, 6-H, 10-H, J = 6.4 und J = 6.3 Hz), 2.99 und 3.11 (2d, 2H, 5-H<sub>e</sub>, 11-H<sub>e</sub>, J = 16.8 und J = 18.7 Hz), 3.67 (s, 1H, 8-H), 3.90 und 3.93 (2s, 6H, 2 OCH<sub>3</sub>), 4.89 und 4.93 (2s, 2H, 16-H, 18-H), 5.24 (s, 1H, NH, +CF<sub>3</sub>COOD:-), 6.45 und 6.63 (2d, 2H, 4-H, 12-H, J = 8.2 Hz), 6.69 und 6.73 (2d, 2H, 3-H, 13-H, J = 8.2 Hz), 7.07 (d, 2H, 2'-H, 6'-H, J = 8.7 Hz), 7.91 (d, 2H, 3'-H, 5'-H, J = 8.6 Hz). -  $[\alpha]_D^{20} = -199^\circ$ . - DC (MeOH): Rf = 0.14. - C<sub>43</sub>H<sub>44</sub>N<sub>4</sub>O<sub>8</sub>·1/2 CHCl<sub>3</sub> (923.9) Ber. C 58.0 H 4.95 N 6.1 Gef. C 57.9 H 4.96 N 6.1. - Molmasse: 744 (ms).

(6R,6aR,9aR,10R,15bS,16R,18R,18aS)-(-)-1,18;15,16-Diepoxy-5,6,6a,7,9,9a,10,11-octahydro-2,14-dimethoxy-21,24-dimethyl-8-(3-nitrophenyl)-6,18a;10,15b-bis(iminoethano)-(16H,18H)-dinaphth[2,1-b:1',2'-i]acridin (**5b**)

Darstellung aus **4b** nach AAV 3. Amorphes hellbeiges Pulver, Schmp. ab 245°C (Zers.) (MeOH/ $\text{H}_2\text{O}$ ). Ausb. 57%. - IR (KBr):  $\tilde{\nu} = 1630, 1600$  (Aryl);

1525, 1340  $\text{cm}^{-1}$  ( $\text{NO}_2$ ). - UV (0.1 N HCl):  $\lambda_{\text{max}} (\lg \epsilon) = 278$  nm (4.26). -  $^1\text{H-NMR}$  ( $\text{CDCl}_3$ ):  $\delta = 1.70-2.61$  (m, 16 H), 2.36 (s, 6H, 2 NCH<sub>3</sub>), 2.98-3.01 (m, 2H, 6-H, 10-H), 3.03 (d, 2H, 5-H<sub>e</sub>, 11-H<sub>e</sub>, J = 18.5 Hz), 3.86 und 3.87 (2s, 6H, 2 OCH<sub>3</sub>), 5.73 und 5.75 (2s, 2H, 16-H, 18-H), 5.59-6.68 (m, 2H, 4-H, 14-H), 6.70 und 6.73 (2d, 2H, 3-H, 13-H, J = 8.1 und J = 8.2 Hz), 7.19 (d, 1H, 6'-H, J = 7.5 Hz), 7.56 (t, 1H, 5'-H, J = 7.9 Hz), 7.76 (t, 1H, 2'-H, J = 1.7 Hz), 8.22 (dd, 1H, 4'-H, J = 8.2, J = 0.7 Hz). -  $[\alpha]_D^{20} = -377^\circ$ . - DC (MeOH): Rf = 0.13. - C<sub>43</sub>H<sub>42</sub>N<sub>4</sub>O<sub>6</sub>·H<sub>2</sub>O (728.9) Ber. C 70.9 H 6.08 N 7.7 Gef. C 71.0 H 5.85 N 7.8. - Molmasse: 710 (ms).

(6R,6aR,9aR,10R,15bS,16R,18R,18aS)-(-)-1,18;15,16-Diepoxy-5,6,6a,7,9,9a,10,11-octahydro-2,14-dimethoxy-21,24-dimethyl-8-(4-nitrophenyl)-6,18a;10,15b-bis(iminoethano)-(16H,18H)-dinaphth[2,1-b:1',2'-i]acridin (**5c**)

Darstellung aus **4c** nach AAV 3. Gelbe Nadeln, Schmp. ab 220°C (MeOH/ $\text{H}_2\text{O}$ ). Ausb. 57%. - IR (KBr):  $\tilde{\nu} = 1630, 1600$  (Aryl); 1515, 1345  $\text{cm}^{-1}$  ( $\text{NO}_2$ ). - UV (0.1 N HCl):  $\lambda_{\text{max}} (\lg \epsilon) = 278$  nm (4.34). -  $^1\text{H-NMR}$  ( $\text{CDCl}_3$ ):  $\delta = 1.79-2.62$  (m, 16 H), 2.36 (s, 6H, 2 NCH<sub>3</sub>), 2.98-3.01 (m, 2H, 6-H, 10-H), 3.02 (d, 2H, 5-H<sub>e</sub>, 11-H<sub>e</sub>, J = 18.4 Hz), 3.86 (s, 6H, 2 OCH<sub>3</sub>), 5.72 (s, 2H, 16-H, 18-H), 6.62 (d, 2H, 4-H, 12-H, J = 8.2 Hz), 6.71 (d, 2H, 3-H, 13-H, J = 8.2 Hz), 7.05 (dt, 2H, 2'-H, 6'-H, J = 8.7, J = 1.9 Hz), 8.22 (d, 2H, 3'-H, 5'-H, J = 8.7 Hz). -  $[\alpha]_D^{20} = -326^\circ$ . - DC (MeOH): Rf = 0.16. - C<sub>43</sub>H<sub>42</sub>N<sub>4</sub>O<sub>6</sub>·1/2 H<sub>2</sub>O (719.8) Ber. C 71.8 H 6.02 N 7.8 Gef. C 71.6 H 5.89 N 7.7. - Molmasse: 710 (ms).

(6R,6aS,9aS,10R,15bS,16R,18R,18aS)-(-)-1,18;15,16-Diepoxy-5,6,6a,7,9,9a,10,11-octahydro-2,14-dimethoxy-21,24-dimethyl-8-(2-nitrophenyl)-6,18a;10,15b-bis(iminoethano)-(16H,18H)-dinaphth[2,1-b:1',2'-i]acridin-6a,9a-diol (**5d**)

Darstellung aus **4d** nach AAV 3. Gelbe Kristalle, Schmp. ab 240°C (Zers.) (MeOH). Ausb. 37%. - IR (KBr):  $\tilde{\nu} = 3390$  (OH); 1630, 1600 (Aryl); 1525, 1340  $\text{cm}^{-1}$  ( $\text{NO}_2$ ). - UV (0.1 N HCl):  $\lambda_{\text{max}} (\lg \epsilon) = 276$  nm (4.14). -  $^1\text{H-NMR}$  ( $\text{CDCl}_3$ ):  $\delta = 1.75-1.79$  (m, 2H, 19-H<sub>e</sub>, 22-H<sub>e</sub>), 1.92 und 1.94 (2d, 2H, 7-H<sub>a</sub>, 9-H<sub>a</sub>, J = 16.0 und J = 15.9 Hz), 2.18 und 2.22 (2d, 2H, 7-H<sub>e</sub>, 9-H<sub>e</sub>, J = 16.0 Hz), 2.31 (s, 6H, 2 NCH<sub>3</sub>), 2.31-2.51 (m, 8H), 2.66 und 2.68 (2d, 2H, 6-H, 10-H, J = 6.5 und J = 6.4 Hz), 3.12 und 3.14 (2d, 5-H<sub>e</sub>, 11-H<sub>e</sub>, J = 18.6 und J = 18.7 Hz), 3.86 und 3.89 (2s, 6H, 2 NCH<sub>3</sub>), 5.64 und 5.70 (2s, 2H, 16-H, 18-H), 6.54 und 6.56 (2d, 2H, 4-H, 12-H, J = 8.2 und J = 8.1 Hz), 6.66 und 6.68 (2d, 2H, 3-H, 13-H, J = 8.1 Hz), 7.04 (dd, 1H, 6'-H, J = 7.5, J = 1.5 Hz), 7.53 (dt, 1H, 4'-H, J = 7.9, J = 1.4 Hz), 7.62 (dt, 1H, 5'-H, J = 7.5, J = 1.4 Hz), 8.05 (dd, 1H, 3'-H, J = 7.9, J = 1.3 Hz). -  $[\alpha]_D^{20} = -403^\circ$ . - DC (MeOH): Rf = 0.13. - C<sub>43</sub>H<sub>42</sub>N<sub>4</sub>O<sub>6</sub>·1/2 MeOH (758.9) Ber. C 68.9 H 6.11 N 7.4 Gef. C 68.7 H 6.00 N 7.3. - Molmasse: 742 (ms).

(6R,6aS,9aS,10R,15bS,16R,18R,18aS)-(-)-1,18;15,16-Diepoxy-5,6,6a,7,9,9a,10,11-octahydro-2,14-dimethoxy-21,24-dimethyl-8-(3-nitrophenyl)-6,18a;10,15b-bis(iminoethano)-(16H,18H)-dinaphth[2,1-b:1',2'-i]acridin-6a,9a-diol (**5e**)

Darstellung aus **4e** nach AAV 3. Gelbe Kristalle, Schmp. ab 250°C (Zers.) (MeOH/ $\text{H}_2\text{O}$ ). Ausb. 54%. - IR (KBr):  $\tilde{\nu} = 3390$  (OH); 1625, 1595 (Aryl); 1520, 1345  $\text{cm}^{-1}$  ( $\text{NO}_2$ ). - UV (0.1 N HCl):  $\lambda_{\text{max}} (\lg \epsilon) = 274$  nm (4.22). -  $^1\text{H-NMR}$  ( $\text{CDCl}_3$ ):  $\delta = 1.78-1.84$  (m, 2H, 19-H<sub>e</sub>, 22-H<sub>e</sub>), 1.98 und 2.00 (2d, 2H, 7-H<sub>a</sub>, 9-H<sub>a</sub>, J = 16.2 Hz), 2.17-2.57 (m, 10 H), 2.32 (s, 6H, 2 NCH<sub>3</sub>), 2.69 und 2.70 (2d, 2H, 6-H, 10-H, J = 6.1 und J = 6.2 Hz), 3.16 (d, 2H, 5-H<sub>e</sub>, 11-H<sub>e</sub>, J = 18.7 Hz), 3.87 (s, 6H, 2 OCH<sub>3</sub>), 5.69 und 5.70 (2s, 2H, 16-H, 18-H), 6.59 und 6.62 (2d, 2H, 4-H, 12-H, J = 8.1 und J = 8.0 Hz), 6.69 und 6.71 (2d, 2H, 3-H, 13-H, J = 8.2 Hz), 7.28 (dt, 1H, 6'-H, J = 8.6, J = 1.2 Hz), 7.55 (t, 1H, 5'-H, J = 7.9 Hz), 7.86 (t, 1H, 2'-H, J = 1.8 Hz), 8.20 (dd, 1H, 4'-H, J = 8.2, J = 1.1 Hz). -  $[\alpha]_D^{20} = -323^\circ$ . - DC (MeOH): Rf = 0.25. - C<sub>43</sub>H<sub>42</sub>N<sub>4</sub>O<sub>6</sub>·1.5 H<sub>2</sub>O (769.9) Ber. C 67.1 H 5.89 N 7.3 Gef. C 67.1 H 5.69 N 7.3. - Molmasse: 742 (ms).

(*6R,6aS,9aS,10R,15bS,16R,18R,18aS*)-(*-*)-*1,18,15,16-Diepoxy-5,6,6a,7,9,9a,10,11-octahydro-2,14-dimethoxy-21,24-dimethyl-8-(4-nitrophenyl)-6,18a;10,15b-bis(iminoethano)-(16H,18H)-dinaphth[2,1-*b*:1'-*c*]acridin-6a,9a-diol (5f)*

Darstellung aus **4f** nach AAV 3. Grünlichgelbe Kristalle, Schmp. ab 235°C (Zers.) (CHCl<sub>3</sub>/EtOH). Ausb. 56%. - IR (KBr):  $\tilde{\nu}$  = 3400 (OH); 1625, 1595 (Aryl); 1515, 1340 cm<sup>-1</sup> (NO<sub>2</sub>). - UV (0.1 N HCl):  $\lambda$  max (lg e) = 276 nm (4.34). - <sup>1</sup>H-NMR (CDCl<sub>3</sub>):  $\delta$  = 1.80 (d, 2H, 19-H<sub>e</sub>, 22-H<sub>e</sub>, J = 9.2 Hz), 1.99 (d, 2H, 7-H<sub>a</sub>, 9-H<sub>a</sub>, J = 16.2 Hz), 2.22 (d, 2H, 7-H<sub>e</sub>, 19-H<sub>e</sub>, J = 16.2 Hz), 2.31-2.54 (m, 8H), 2.33 (s, 6H, 2 NCH<sub>3</sub>), 2.70 (d, 2H, 6-H, 10-H, J = 6.3 Hz), 3.16 (d, 2H, 5-H<sub>e</sub>, 11-H<sub>e</sub>, J = 18.7 Hz), 3.87 (s, 6H, 2 OCH<sub>3</sub>), 5.68 (s, 2H, 16-H, 18-H), 6.60 (d, 2H, 4-H, 12-H, J = 8.2 Hz), 6.69 (d, 2H, 3-H, 13-H, J = 8.2 Hz), 7.16 (d, 2H, 2'-H, 6'-H, J = 8.7 Hz), 8.21 (d, 2H, 3'-H, 5'-H, J = 8.7 Hz). - <sup>13</sup>C-NMR (CDCl<sub>3</sub>):  $\delta$  = 22.07 (t, C-19, C-22), 31.82 (t, C-5, C-11), 34.28 (t, C-7, C-9), 42.87 (q, 2 NCH<sub>3</sub>), 45.32 (s, C-15b, C-18a), 45.77 (t, C-20, C-23), 56.46 (q, 2 OCH<sub>3</sub>), 64.00 (d, C-6, C-10), 71.49 (s, C-6a, C-9a), 90.47 (d, C-16, C-18), 114.09 (d, C-4, C-12), 118.58 (d, C-3, C-13), 124.00 (d, C-3', C-5'), 125.33 (s, C-4a, C-11a), 127.85 (s, C-7a, C-8a), 129.82 (d, C-2', C-6'), 130.84 (s, C-15a, C-18b), 143.05 (s, C-2,

C-14), 144.50 (s, C-1'), 145.40 (s, C-1, C-15), 147.23 (s, C-8), 147.46 (s, C-4'), 151.79 (s, C-16a, C-17a). -  $[\alpha]_D^{20} = -333^\circ$ . - DC (MeOH): Rf = 0.44. - C<sub>43</sub>H<sub>42</sub>N<sub>4</sub>O<sub>8</sub>H<sub>2</sub>O (760.9) Ber. C 67.9 H 5.83 N 7.4 Gef. C 67.9 H 5.55 N 7.3. - Molmasse: 742 (ms).

## Literatur

1. Mitt.: K. Görlitzer und M. Noack, Arch. Pharm. (Weinheim) 325, 629 (1992).
2. K. Görlitzer und M. Noack, Vortrag anlässlich der gemeinsamen wissenschaftlichen Tagung der Österreichischen Pharmazeutischen Gesellschaft und der Deutschen Pharmazeutischen Gesellschaft, Innsbruck, 1986; Sci. Pharm. 54, 178 (1986).
3. Aus der Dissertation M. Noack, FU Berlin 1987.
4. K. Görlitzer, E. Meyer und L. Ernst, Postervortrag anlässlich der Tagung der Deutschen Pharmazeutischen Gesellschaft, Berlin, 1990; Arch. Pharm. (Weinheim) 323, 713 (1990).
5. H. Günther, NMR-Spektroskopie, 2. Aufl., S. 222, Georg Thieme Verlag, Stuttgart 1980.
6. P.S. Portoghesi, A.W. Lipkowski und A.E. Takemori, J. Med. Chem. 30, 238 (1987).

[Ph992]